

01;09

Синтез токов на полосе по заданной реализуемой диаграмме направленности

© С.И. ЭМИНОВ

Новгородский государственный университет им. Ярослава Мудрого,
173003 Новгород, Россия

(Поступило в Редакцию 14 марта 2000 г.)

Разработана теория синтеза токов на полосе по заданной реализуемой диаграмме направленности. В основе теории лежит выбор пространства токов исходя из ограниченности поля в ближней зоне. Пространство диаграмм определяется как образ пространства токов при отображении, переводящем ток в диаграмму направленности. В этих пространствах введена гильбертова структура, а также указан базис. В результате задачи нахождения токов по диаграмме сведена к задаче разложения по базису. Рассмотрен пример расчета.

Введение. Постановка задачи

Связь между плотностью поверхностных токов $j(t)$, наведенных на обеих сторонах полосы с электрической шириной $2a$ и диаграммой направленности $F(\chi)$, описывается следующим интегральным уравнением [1–3]:

$$F(\chi) = K_a j = a \int_{-1}^1 \exp(i\alpha\chi t) j(t) dt. \quad (1)$$

При этом реальным углом соответствуют значения χ : $|\chi| \leq 1$. Однако функцию $F(\chi)$ принято рассматривать при всех вещественных χ .

Уравнение (1) изучалось во многих работах. В [2,3] разработаны аналитические методы, позволяющие по заданной реализуемой диаграмме направленности находить токи. Работа [4] посвящена вариационным методам, когда по заданной диаграмме направленности (не обязательно реализуемой) находятся токи, реализующие близкую диаграмму. В этих работах полагается, что токи $j(\tau)$ принадлежат пространству L_2 , т. е.

$$\int_{-1}^1 |j(t)|^2 dt < +\infty \quad (2)$$

или же с учетом равенства Парсевала

$$\int_{-\infty}^{\infty} |F(\chi)|^2 d\chi < +\infty. \quad (3)$$

Вместе с тем выбор пространства L_2 в цитированных работах не обосновывается.

Синтезу тока на незамкнутой поверхности посвящена также работа [5], в которой ток находится с учетом условий Мейкснера, поведения тока на ребре. Однако методы работы [5] к настоящему времени реализованы лишь для замкнутых поверхностей и не реализованы ни для одной конкретной незамкнутой поверхности.

Если для замкнутых поверхностей проблемы синтеза токов по заданной диаграмме направленности исследованы достаточно полно [6], то для незамкнутых поверхностей остаются нерешенными многие задачи, в частности проблема выбора пространства токов.

Целью данной работы является разработка критерия выбора пространства токов, построение пространства токов для полосы и пространства диаграмм направленности, а также излучение уравнения (1) в соответствующих пространствах.

Энергетический интеграл. Задача H -поляризации

В этом разделе рассмотрим задачу H -поляризации: полоса расположена в плоскости $y = 0$, образующая параллельна оси z , а токи $j_x(\tau)$ текут параллельно оси x , перпендикулярно к краю полосы и обращаются в нуль при приближении к краю. На наш взгляд, пространство токов нужно выбрать исходя из физических условий, а именно необходима ограниченность не только мощности поля и в дальней зоне, но и мощности поля в ближней зоне. Именно это условие обеспечивает единственность решения уравнений Максвелла [7].

Найдем условие, обеспечивающее конечность мощности поля в ближней зоне. Для этого проинтегрируем вектор Пойнтинга по замкнутой линии l , охватывающей сечение полосы, и стянем линию в отрезок

$$P = \frac{1}{2} \int_l [\mathbf{E}, \mathbf{H}^*] \mathbf{n} dl = -\frac{\tilde{a}}{2} \int_{-1}^1 E_x(\tau) j_x^*(\tau) d\tau, \quad (4)$$

где \mathbf{E} , \mathbf{H} — поля, создаваемые токами $j_x(\tau)$; $2\tilde{a}$ — ширина полосы; звездочка — знак комплексного сопряжения, а нормаль \mathbf{n} параллельна оси y .

Далее выразим электрическое поле E_x через плотность токов $j_x(\tau)$ [1]

$$E_x(\tau) = \sqrt{\frac{\mu}{\varepsilon}} \frac{1}{4a} \frac{\partial}{\partial \tau} \int_{-1}^1 j_x(t) \frac{\partial}{\partial t} H_0^{(2)}(a|\tau - t|) dt - \frac{a}{4} \sqrt{\frac{\mu}{\varepsilon}} \int_{-1}^1 j_x(t) H_0^{(2)}(a|\tau - t|) dt, \quad (5)$$

а функцию Ханкеля, входящую в (5), представим в виде интеграла Фурье

$$H_0^{(2)}(a|\tau - t|) = \frac{i}{\pi} \int_{-\infty}^{+\infty} \frac{\exp(-ia\chi(\tau - t))}{\sqrt{\chi^2 - 1}} d\chi, \quad \sqrt{\chi^2 - 1} = i\sqrt{1 - \chi^2}, \quad |\chi| \leq 1. \quad (6)$$

Подставим (5) в (4) и учтем (1) и (6), в результате получим

$$P = -i \sqrt{\frac{\mu}{\varepsilon}} \frac{\tilde{a}\pi}{8a} \int_{-\infty}^{+\infty} \sqrt{\chi^2 - 1} |F(\chi)|^2 d\chi. \quad (7)$$

Энергетический интеграл (7) будет сходящимся, если

$$\int_{-\infty}^{+\infty} \left| \sqrt{\chi^2 - 1} \right| |F(\chi)|^2 d\chi < +\infty. \quad (8)$$

Из сравнения (8) и (3) следует, что принадлежность токов пространству $L_2[-1, 1]$ еще не обеспечивает ограниченность мощности. Для того чтобы мощность поля была ограничена, необходимо сузить пространство $L_2[-1, 1]$.

Энергетический интеграл. Задача E -поляризации

Рассмотрим задачу E -поляризации: токи $j_z(\tau)$ текут параллельно оси z , параллельно краю полосы и обращаются в бесконечность при приближении к ребру. Интегрирование вектора Пойнтинга в этом случае дает

$$P = \frac{1}{2} \int_l [\mathbf{E}, \mathbf{H}^*] \mathbf{n} dl = -\frac{\tilde{a}}{2} \int_{-1}^1 E_z(\tau) j_z^*(\tau) d\tau. \quad (9)$$

Выразим электрическое поле E_z через плотность токов $j_z(\tau)$

$$E_z(\tau) = -\frac{a}{4} \sqrt{\frac{\mu}{\varepsilon}} \int_{-1}^1 j_z(t) H_0^{(2)}(a|\tau - t|) dt \quad (10)$$

и подставим в (9), в результате получим

$$P = i \sqrt{\frac{\mu}{\varepsilon}} \frac{\tilde{a}\pi}{8a} \int_{-\infty}^{+\infty} \frac{1}{\sqrt{\chi^2 - 1}} |F(\chi)|^2 d\chi. \quad (11)$$

Для ограниченности энергетического интеграла (11) достаточно, чтобы

$$\int_{-\infty}^{+\infty} \frac{1}{\left| \sqrt{\chi^2 - 1} \right|} |F(\chi)|^2 d\chi < +\infty. \quad (12)$$

А теперь из сравнения (12) и (3) следует, что пространство $L_2[-1, 1]$ уже, существуют токи, которые удовлетворяют (12), но пространству $L_2[-1, 1]$ не принадлежат.

Пространство токов в задаче H -поляризации

Пространство токов введем с помощью оператора

$$(Au)(\tau) = \frac{1}{\pi} \int_0^{+\infty} \chi \int_{-1}^1 \cos[\chi(\tau - t)] u(t) dt d\chi \equiv \frac{1}{2\pi} \int_{-\infty}^{+\infty} |\chi| \int_{-1}^1 \exp(-i\chi(\tau - t)) u(t) dt d\chi. \quad (13)$$

Известно [8], что оператор A является симметричным, имеет плотную в $L_2[-1, 1]$ область определения $D(A)$ и, наконец, является положительно определенным

$$(Au, u) \geq \gamma^2(u, u), \quad \forall u \in D(A), \quad \gamma^2 > 0, \quad (14)$$

Здесь и далее (\cdot, \cdot) будет обозначать скалярное произведение в $L_2[-1, 1]$. Положительная определенность оператора A позволяет ввести энергетическое пространство H_A [9], которое определяется как пополнение $D(A)$ по норме

$$[u]^2 = (Au, u), \quad (15)$$

а скалярное произведение в этом пространстве определяется по формуле

$$[u, v] = (Au, v).$$

Далее установим связь между H_A и пространством Соболева $H_{\frac{1}{2}}([-1, 1])$, которое можно рассмотреть [10] как пополнение $C_0^\infty([-1, 1])$ (множества бесконечно дифференцируемых финитных функций с носителем в $[-1, 1]$) по норме

$$\|u\|_{\frac{1}{2}}^2 = \frac{1}{2\pi} \int_{-\infty}^{+\infty} (1 + |\chi|) |\tilde{u}(\chi)|^2 d\chi, \quad (16)$$

где

$$\tilde{u}(\chi) = \int_{-1}^1 u(t) \exp(i\chi t) dt.$$

Из положительной определенности оператора A немедленно следует эквивалентность двух норм (15) и (16). Следовательно, энергетическое пространство H_A совпадает с пространством Соболева $H_{\frac{1}{2}}([-1, 1])$. Существенное преимущество введенной нормы и скалярного произведения заключается в том, что удастся аналитически задать ортонормированный базис H_A [8] в виде

$$\varphi_n(\tau) = \sqrt{\frac{2}{\pi n}} \sin[n \arccos(\tau)]; \quad n = 1, 2, \dots,$$

$$(A\varphi_m, \varphi_n) = \begin{cases} 0, & m \neq n, \\ 1, & m = n. \end{cases} \quad (17)$$

В заключение этого раздела запишем оператор A в координатной форме

$$(Au)(\tau) = \frac{1}{\pi} \frac{\partial}{\partial \tau} \int_{-1}^1 u(t) \frac{\partial}{\partial t} \ln \frac{1}{|\tau - t|} dt.$$

Эквивалентность двух представлений оператора A (13) и (18) на плотном множестве устанавливается с помощью известного соотношения

$$\ln \frac{1}{|\tau - t|} = C + \int_0^1 \frac{\cos[\chi(\tau - t)] - 1}{\chi} d\chi + \int_1^{+\infty} \frac{\cos[\chi(\tau - t)]}{\chi} d\chi, \quad (19)$$

где C — постоянная Эйлера.

Пространство диаграмм направленности в задаче H -поляризации. Базис

Введем пространства Соболева [11] на всей прямой $H_s(-\infty, +\infty)$ как пополнение множества бесконечно дифференцируемых финитных функций $C_0^\infty(-\infty, +\infty)$ по норме

$$\|\tilde{u}\|_s^2 = \frac{1}{2\pi} \int_{-\infty}^{+\infty} (1 + |\chi|)^{2s} |\tilde{u}(\chi)|^2 d\chi < +\infty, \quad (20)$$

где

$$\tilde{u}(\chi) = \int_{-\infty}^{+\infty} u(t) \exp(i\chi t) dt.$$

Постоянная перед интегралом в правой части (20) введена для удобства. Фурье-образ пространства $H_s(-\infty, +\infty)$ будем обозначать через $\tilde{H}_s(-\infty, +\infty)$. Норма в этом пространстве также определяется соотношением (20). Пространства $H_s(-\infty, +\infty)$ и $\tilde{H}_s(-\infty, +\infty)$ являются гильбертовыми пространствами относительно скалярного произведения

$$\langle u, v \rangle_s = \frac{1}{2\pi} \int_{-\infty}^{+\infty} (1 + |\chi|)^{2s} \tilde{u}(\chi) \overline{\tilde{v}(\chi)} d\chi. \quad (21)$$

Оператор K_1 , или преобразование Фурье как оператор, действующий из пространства $H_{\frac{1}{2}}([-1, 1])$ в пространство $\tilde{H}_{\frac{1}{2}}(-\infty, +\infty)$, является изоморфизмом, норма при этом отображении не меняется. Поэтому образ $H_{\frac{1}{2}}([-1, 1])$ будет замкнутым множеством, на нем определен и ограничен обратный оператор K_1^{-1} . Но пространство Соболева $H_{\frac{1}{2}}([-1, 1])$ совпадает с энергетическим пространством H_A , в котором в аналитическом виде задан базис. Поэтому далее будем полагать, что операторы действуют на энергетическом пространстве H_A .

А теперь вернемся к уравнению (1)

$$F(\chi) = K_a j = a \int_{-1}^1 \exp(ia\chi t) j(t) dt \quad (22)$$

и рассмотрим это уравнение, переведя из энергетического пространства $j \in H_A$ в пространство Соболева $F \in \tilde{H}_{\frac{1}{2}}(-\infty, +\infty)$. Пространство диаграмм направленности определим как образ H_A при отображении $K_a : \text{Im}(K_a)$, в котором скалярное произведение определено по формуле

$$(K_a u, K_a v)_{\frac{1}{2}} = \frac{1}{2\pi} \int_{-\infty}^{+\infty} K_a u \cdot \overline{K_a v} |\chi| d\chi. \quad (23)$$

Скалярное произведение (23) на множестве $\text{Im}(K_a)$ эквивалентно скалярному произведению (21). Это утверждение следует из положительной определенности оператора A . Множество $\text{Im}(K_a)$, как замкнутое множество, является гильбертовым пространством относительно скалярного произведения (23).

Базисные функции f_n^a этого пространства определим с помощью базисных функций φ_n пространства токов

$$f_n^a = K_a \varphi_n. \quad (24)$$

С учетом определения базисных функций φ_n (17) и определения оператора K_a найдем базисные функции f_n^a

$$f_n^a(\chi) = \begin{cases} (-1)^{k-1} \sqrt{2\pi(2k-1)} \frac{J_{2k-1}(a\chi)}{\chi}, & n = 2k - 1, \\ i(-1)^{k-1} \sqrt{4\pi k} \frac{J_{2k}(a\chi)}{\chi}, & n = 2k, \end{cases} \quad (25)$$

где J_n — функция Бесселя.

При нахождении функций (25) были использованы интегралы от произведения тригонометрических функций и полиномов Чебышева второго рода. Базисные функции f_n^a ортонормированы по построению

$$(f_n^a, f_m^a)_{\frac{1}{2}} = \begin{cases} 0, & m \neq n, \\ 1, & m = n. \end{cases} \quad (26)$$

Соотношение (26) также непосредственно проверяется с помощью табличного интеграла

$$\int_0^{+\infty} \frac{J_m(\chi) J_n(\chi)}{\chi} d\chi = \frac{2}{\pi(m^2 - n^2)} \sin \frac{m-n}{2} \pi. \quad (27)$$

Произвольную функцию F из класса диаграмм $\text{Im}(K_a)$ можно разложить по ортонормированному базису f_n^a

$$F(\chi) = \sum_{n=1}^{+\infty} (F, f_n^a)_{\frac{1}{2}} f_n^a(\chi). \quad (28)$$

Коль скоро имеется разложение для диаграммы направленности, то немедленно имеем разложение для тока

$$j(\tau) = \sum_{n=1}^{+\infty} (F, f_n^a)_{\frac{1}{2}} \varphi_n(\tau). \quad (29)$$

В результате задача определения тока по заданной реализуемой диаграмме направленности свелась к задаче разложения по заданному ортонормированному базису. Таким образом, поставленная в начале работы задача нахождения тока по заданной реализуемой диаграмме в случае H -поляризации полностью решена.

Пространство токов в задаче E -поляризации

Пространство токов будем вводить с помощью оператора

$$(Lu)(\tau) = \frac{1}{\pi} \int_{-1}^1 u(t) \ln \frac{1}{|\tau - t|} dt. \quad (30)$$

Кроме того, нам потребуются весовые пространства $L_{2,q}$, в которых скалярное произведение определяется по формуле

$$(u, v)_{2,q} = \int_{-1}^1 u(t) \overline{v(t)} q(t) dt. \quad (31)$$

Рассмотрим оператор L из весового пространства $L_{2,\rho}$ в весовое пространство $L_{2,\rho^{-1}}$, где функция $\rho(t) = \sqrt{1-t^2}$. Полиномы Чебышева первого рода $T_n(t) = \cos[(n-1)\arccos(t)]$, ($n = 1, 2, \dots$) образуют базис пространства $L_{2,\rho^{-1}}$, а полиномы Чебышева с весом $T_n(t)/\rho$ образуют базис пространства $L_{2,\rho}$. Для оператора L справедливо следующее соотношение [12]:

$$L(T_n/\rho)(\tau) = \begin{cases} \ln 2; & n = 1, \\ \frac{1}{n-1} T_n(\tau), & n \neq 1. \end{cases} \quad (32)$$

Пусть далее I обозначает единичный оператор, который действует из пространства $L_{2,\rho^{-1}}$ в пространства $L_{2,\rho}$ и функции $u(\tau)$ ставит в соответствие функцию $u(\tau)/\rho(\tau)$. Рассмотрим оператор

$$IL : L_{2,\rho} \rightarrow L_{2,\rho}. \quad (33)$$

Он является положительным, как следует из соотношения (32). Положительность (только положительность) оператора IL также позволяет ввести энергетическое пространство H_L [9], которое определяется как пополнение $L_{2,\rho}$ по норме

$$[u]^2 = (ILu, u)_{2,\rho}. \quad (34)$$

Пространство H_L является гильбертовым пространством относительно скалярного произведения

$$[u, v] = (ILu, v)_{2,\rho}. \quad (35)$$

Ортонормированный базис этого пространства, согласно (32), имеет вид

$$\psi_n(\tau) = \begin{cases} \sqrt{\frac{1}{\pi \ln 2}} \frac{1}{\sqrt{1-\tau^2}}; & n = 1, \\ \sqrt{\frac{2(n-1)}{\pi}} \frac{\cos[(n-1)\arccos(\tau)]}{\sqrt{1-\tau^2}}; & n > 1, \end{cases}$$

$$(IL\psi_m, \psi_n) = \begin{cases} 0; & m \neq n, \\ 1; & m = n. \end{cases} \quad (36)$$

Можно показать, что энергетическое пространство H_L совпадает с пространством Соболева $H_{\frac{1}{2}}([-1, 1])$, которое определяется как пополнение $C_0^\infty([-1, 1])$ (множества бесконечно дифференцируемых финитных функций с носителем в $[-1, 1]$) по норме

$$\|u\|_{\frac{1}{2}}^2 = \frac{1}{2\pi} \int_{-1}^{+\infty} \frac{|\tilde{u}(\chi)|^2}{1+|\chi|} d\chi, \quad (37)$$

где

$$\tilde{u}(\chi) = \int_{-1}^1 u(t) \exp(i\chi t) dt.$$

Далее найдем преобразование Фурье от базисных функций

$$K_1\psi_n = \int_{-1}^1 \exp(i\chi t)\psi_n(t)dt$$

$$= \begin{cases} \sqrt{\frac{\pi}{\ln 2}}J_0(\chi); & n = 1, \\ (-1)^{k-1}\sqrt{2\pi(2k-1)}J_{2k-2}(\chi); & n = 2k-1, \\ i(-1)^{k-1}\sqrt{4\pi k}J_{2k}(\chi); & n = 2k. \end{cases} \quad (38)$$

Используя (38) и методы работы [8], легко доказать эквивалентность двух норм (34) и (37). В заключение раздела отметим, что энергетическое пространство H_L соответствует задаче E -поляризации: если функция токов принадлежит H_L , то энергетический интеграл (12) конечен.

Пространство диаграмм направленности в задаче E -поляризации. Базис

Оператор K_1 , или преобразование Фурье как оператор, действующий из пространства $H_{\frac{1}{2}}([-1, 1])$ в пространство $\tilde{H}_{\frac{1}{2}}(-\infty, +\infty)$ также является изоморфизмом, норма при этом отображении не меняется. Поэтому образ $H_{\frac{1}{2}}([-1, 1])$ будет замкнутым множеством, на нем определен и ограничен обратный оператор K_1^{-1} . Пространство Соболева $H_{\frac{1}{2}}([-1, 1])$ совпадает с энергетическим пространством H_L , в котором в аналитическом виде задан базис. Поэтому рассмотрим уравнение (1)

$$F(\chi) = K_a j = \int_{-1}^1 \exp(ia\chi t)j(t)dt \quad (39)$$

из энергетического пространства $j \in H_L$ в пространство Соболева $F \in \tilde{H}_{\frac{1}{2}}(-\infty, +\infty)$. Уравнение (39) отличается от уравнения (1) постоянным множителем.

Пространство диаграмм направленности определим как образ H_L при отображении $K_a : \text{Im}(K_a)$. В этом множестве введем скалярное произведение, эквивалентное (21) по формуле

$$(f, g)_{\frac{1}{2}} = \frac{C}{\pi}f(0)\overline{g(0)} + \frac{1}{2\pi} \int_{|\chi|<1} \frac{f(\chi)\overline{g(\chi)} - f(0)\overline{g(0)}}{|\chi|} d\chi$$

$$+ \frac{1}{2\pi} \int_{|\chi|>1} \frac{f(\chi)\overline{g(\chi)}}{|\chi|} d\chi, \quad (40)$$

где $f = K_a u$; $g = K_a v$; C — постоянная Эйлера.

Если одна из функций f или g равна нулю при $\chi = 0$, а этим свойством обладают все функции $K_1\psi_n$, когда $n > 1$, то скалярное произведение (40) приобретает более простой вид

$$(f, g)_{\frac{1}{2}} = \frac{1}{2\pi} \int_{-\infty}^{+\infty} \frac{f(\chi)\overline{g(\chi)}}{|\chi|} d\chi.$$

Множество $\text{Im}(K_a)$ как замкнутое множество является гильбертовым пространством относительно скалярного произведения (40). Базисные функции g_n^a этого пространства, как следует из (32), имеют вид

$$g_n^a = \int_{-1}^1 \exp(ia\chi t)\psi_n(t)dt$$

$$= \begin{cases} \sqrt{\frac{\pi}{\ln 2}}J_0(a\chi); & n = 1, \\ (-1)^{k-1}\sqrt{2\pi(2k-1)}J_{2k-2}(a\chi); & n = 2k-1, \\ i(-1)^{k-1}\sqrt{4\pi k}J_{2k}(a\chi); & n = 2k. \end{cases} \quad (41)$$

Произвольную функцию F из класса реализуемых диаграмм $\text{Im}(K_a)$ можно разложить по ортогональному базису g_n^a

$$F(\chi) = \sum_{n=1}^{+\infty} c_n g_n^a(\chi), \quad (42)$$

где

$$c_n = \begin{cases} (F, g_n^a)_{\frac{1}{2}}; & n = 1, \\ \frac{(F, g_n^a)_{\frac{1}{2}}}{(g_n^a, g_n^a)_{\frac{1}{2}}}; & n > 1. \end{cases}$$

Следует отметить, что базис g_n^a является ортонормированным при $n > 1$. Коль скоро имеется разложение для диаграммы направленности, то немедленно имеем

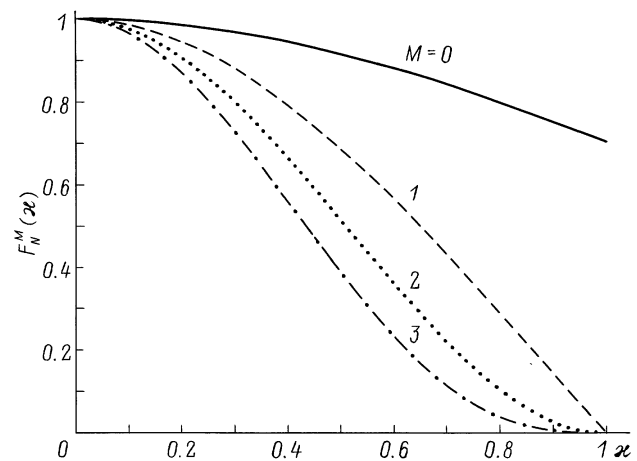


Рис. 1.

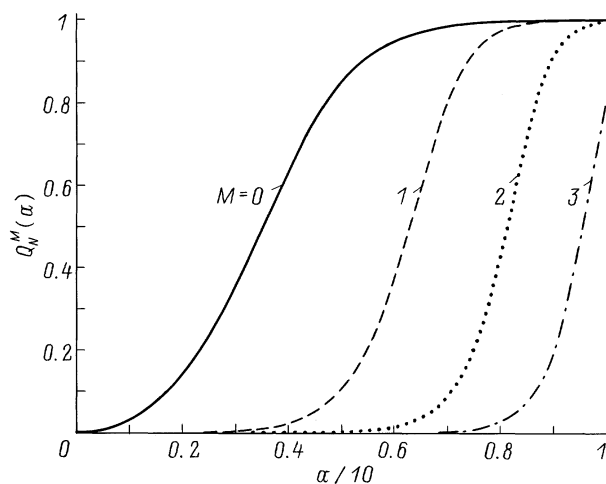


Рис. 2.

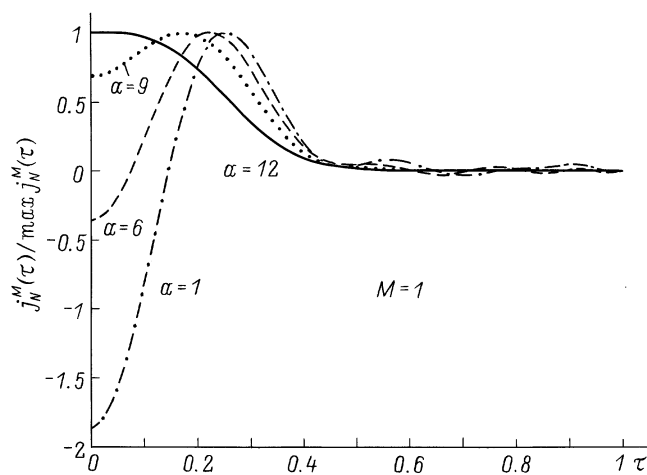


Рис. 3.

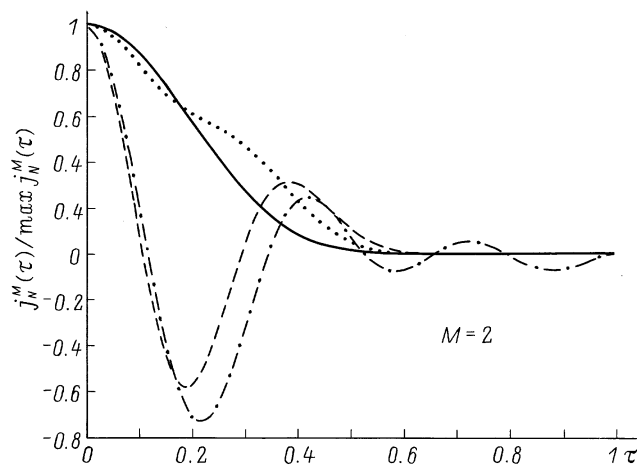


Рис. 4.

разложение для тока

$$j(\tau) = \sum_{n=1}^{+\infty} c_n \psi_n(\tau). \quad (43)$$

Задача нахождения тока по заданной реализуемой диаграмме в случае E -поляризации также полностью решена.

Результаты численных расчетов

Рассмотрим пример расчета токов по заданной диаграмме направленности, например, в задаче H -поляризации. Пусть диаграмма направленности имеет вид

$$F_N^M(\chi) = (1 - \chi^2)^M \sin(a\chi) \left[a\chi \prod_{n=1}^N \left(1 - \frac{a^2 \chi^2}{\pi^2 n} \right) \right]^{-1}.$$

Эта диаграмма направленности является реализуемой [2]. Меняя M и N , можно получать различные остронаправленные безлепестковые диаграммы направленности (рис.1), однако при этом должно выполняться неравенство $M < N$ (на рис. 1–4 $N = 10$). Диаграмма направленности $F_N^M(\chi)$ слабо зависит от a — длины излучателя. Однако от длины излучателя сильно зависят другие параметры. На рис. 2 показано отношение мощности излучения к полной мощности. При малых a мощность излучения незначительна по сравнению со всей мощностью. По мере увеличения a растет доля мощности излучения. На рис. 3,4 приведены графики токов. При малых a токи сильно изрезаны и, как показывают расчеты, имеют большие значения. Хотя остронаправленные безлепестковые диаграммы направленности и можно реализовать при малых a , но это крайне неэффективно. По мере увеличения a токи становятся плавными. При этом чем более остронаправленной является диаграмма направленности, тем больше нужно взять a , чтобы была больше доля мощности излучения и соответственно токи были более плавными.

Список литературы

- [1] Захаров Е.В., Пименов Ю.В. Численный анализ дифракции радиоволн. М.: Радио и связь, 1982.
- [2] Зелкин Е.Г. Построение излучающей системы по заданной диаграмме направленности. М.; Л.: Энергоиздат, 1963.
- [3] Минкович Б.М., Яковлев В.П. Теория синтеза антенн. М.: Сов. радио, 1969. 269 с.
- [4] Бахрах Л.Д., Кременецкий С.Д. Синтез излучающих систем (теория и методы расчета). М.: Сов. радио, 1974. 232 с.
- [5] Фельд Я.Н. // РиЭ. 1987. Т. 32. № 6. С. 1137–1143.
- [6] Каценеленбаум Б.З. Проблема аппроксимированности электромагнитного поля. М.: Наука, 1996.

- [7] Хенл Х., Мауэ А., Вестпфаль К. Теория дифракции. М.: Мир, 1964. 428 с.
- [8] Плотников В.Н., Радциг Ю.Ю., Эминов С.И. // ЖВММФ. 1994. Т. 34. № 1. С. 68–77.
- [9] Михлин С.Г. Вариационные методы в математической физике. М.: Наука. 1970.
- [10] Лионс Ж.-Л., Мадженес Э. Неоднородные граничные задачи и их приложения. М.: Мир, 1971.
- [11] Эскин Г.И. Краевые задачи для эллиптических псевдодифференциальных уравнений. М.: Наука, 1973.
- [12] Ворович И.И., Александров В.М., Бабешко В.А. Неклассические смешанные задачи теории упругости. М.: Наука, 1974.